



第六次国际大坝會議論文选集之二

拱坝的計算、模型試驗 和觀測成果的比較

G. 奧倍蒂等著

水利水电科学研究院譯

水利电力出版社

內容 提 要

本書系第六次國際大壩會議論文選集之二，共包括有關拱壩的計算、模型試驗和觀測等問題的論文13篇。

本書廣泛地介紹了世界各國在拱壩試驗研究方面的成果，各篇論文中不僅提出了比較成功的理論計算方法，大量的實測資料與模型試驗資料，並且通過理論計算、模型試驗與實地觀測成果的比較，提出了設計拱壩的合理步驟與方法。

本書可供水利水電設計、科研等方面人員使用，亦可供高等院校的水利系師生參考。

拱壩的計算、模型試驗 和觀測成果的比較

G. 奧倍蒂等著
水利水電科學研究院譯

*

2244 8 684

水利電力出版社出版（北京西郊科學路二里沟）

北京市書刊出版業營業許可證出字第105號

水利電力出版社印刷廠排印

新華書店科技發行所發行 各地新華書店經售

*

850×1168毫米開本 * 7%印張 * 128千字

1960年2月北京第1版

1960年2月北京第1次印刷(0001—2,430冊)

統一書號：15143·1817 定價(第10類)1.20元

目 录

坝内实测应变与模型试验成果的比较	2
派夫狄卡杜尔坝的实测位移与计算和模型试验所得位移的比较	17
派夫狄卡杜尔坝实测平均应力的初步研究及其与理论计算、模型 试验成果的比较	38
派夫狄卡杜尔坝实测应变与计算及模型试验所得成果比较的初步 报告	49
普勃林諾坝实测变形与分析及小比例模型试验所得成果的比较	63
鮑卡坝的模型试验和原型观测	70
奥格坝原型观测与模型试验测得的挠度比较	101
鳴子拱坝的实验研究	105
皮恩太来舍我坝性能的实体量测及其与静力计算和模型试验所得 成果的比较	130
圣太杰斯汀纳坝顶拱冠位移的分析 (根据 1946 年的观测)	153
圣太杰斯汀纳坝在最初观测的五年中的位移	166
库空及库满期间的衣索拉多坝	194
衣索拉多坝在观测的最初三年期间的实测成果与一些校核计算 成果的比较	212

壩內實測應變與模型試驗成果的比較

(意大利)G.奧倍蒂 E.富馬賈利 E.路勒泰

摘要

本文對壩內應變的觀測和靜力模型試驗的成果進行了比較。

在引論中列舉了能影響實際應變並從而使模型所得應變不能同實際應變比較的各種現象：所有這些有影響的現象，均與儀器的作用、邊界條件、溫度和壩的施工方法有關。

第二部分敘述了幾個有特殊代表性的壩，並將實體上面測得的總應變與模型試驗所得的應變進行了比較：比較結果表明在薄拱壩中是完全相同的，而在較厚的重力拱壩中，則往往有一些不能忽視的偏差。

此外，還敘述了這種現象的一些可能的解釋。接着給出了有關熱源應變，以及結構模型試驗研究所在模型上測定應變所用準則的簡短說明。

第三部分分析了現場量測所用的儀器中可能具有的誤差。並且介紹了結構模型試驗研究所採用彈性弦進行試驗的經驗，在這些儀器中顯示出了因邊界條件和埋設方法所產生的影響，特別說明了對於直接埋設在混凝土內部的儀器進行檢查和校準的必要性。

1. 引論

在混凝土壩中，人們能有效地測到那些數據？而採用這些數據就可與模型試驗或計算成果進行有用的比較。

至今我們可以認為，在實體上面的總應變、位移和轉動的量測，得出的成果較好，這些量測是可以通过外面精確的實測（三角網測量和視準測量），或者採用埋設在壩體內部特殊廊道中的內部儀器（弦線垂直座標儀、光學垂直座標儀、傾斜鏈），得到良好的近似值。

人們可以应用在澆注混凝土时埋設在壩內的各种型式的電測和弦式應變計，求得局部的應變。而这种應變量測显然会受到埋置地点的特殊条件和混凝土物理力学性能的局部条件的影响。其次，應該指出：代表壩體靜力問題的基本未知因素的应力觀測，是相当困难的。首先，区分实測應變，就会遇到困难；其次，按照認為材料是各向同性、均匀和彈性的規律，从應變換算到应力所得的最后成果，一般是不可靠的，很少能直接地与模型試驗（或計算）上面所得的成果比較。

最后，众所周知，可以用埋設在混凝土內部的压力計、应力計等仪器求測应力，虽然它們和應變計一样，也受到局部条件的影响，但却具有不必从應變換算到应力的优点。不过这种仪器却存在着与仪器制造有关的一些缺点，或者有着另外一些只能量測压应力的缺点，因而至少在意大利这种仪器远比應變計使用得少。

在壩體模型上面的量測一般是靜水压力的作用或自重引起的應变，而在周圍边界条件完全肯定时，则可进行位移量測或應變計量測。当完全明確知道模型材料的下陷和湿度等特性时，就可很容易地从應變量測中确定相当的应力数值。在比較壩和模型的成果时，應該說明的是除了上面所說的因素以外，还有一些因素对于所得的結論有不可忽略的影响。現将这些因素依次論述如下：

1. 在模型上通常可量測到上下游面的任一点的應变（应力亦然），而在实际的壩體中，这样的量測有时是不可能的，或則是不可靠的，因为壩的表面层受到伸縮縫的开裂、每日的溫度和水情变化等引起的許多局部的影响，而这些因素会使得出現不可靠的結果。因而最好是将應變計埋設在內部离开壩面1米地方，这样在比較时是有些差別的。

2. 实际壩體基座与基础的接合条件非常复杂，且不一律，由于这些情况，便局部地受到基座和岩石的不連續的影响。在基础岩石最不利的情况下，可以采用或深或淺的灌漿加以改善。在模

型上可在一定情况下，重新造成岩石各向异性的基本特性和最显著的裂縫等，而特別在可疑的情况下，则通常对于实际边界条件一点也不明确，或只能部分肯定。这就給应变（尤其是在靠近坝端部分的）的比較造成困难。

3.由于坝的施工以及季节变化的关系，可能会有：混凝土澆筑中止，比設計計劃提前或延迟封閉伸縮縫，以及改变混凝土力学性能(特别是水泥或水的配合比的改变)等現象；这些工地情况都将影响应变，特別是对于局部应变更有影响，而其实測应变与在进行設計或制作模型时認為实际情况与假設相同时所得的应变，是有所不同的。

4.坝体混凝土的力学特性（彈性模数、彈塑性极限、破損荷重），根据混凝土的澆注方式或凝固時間等，在坝体的各部分还会有所不同。根据意大利从坝体鉆探取得的直徑相当大（25~30厘米）的試件进行試驗，証实了在內力相等的点子上各点量測应变之間的显著差別。

所有上面的这一切，都是我們初步的意見，應該确信，在考慮总应变(位移亦然)比較时它們是有效的。在考慮比較坝和模型所得的成果时，对于混凝土和基础岩石的物理力学特性的数值來說，可采用靜力平均数值。

如果位移的量測实际上仅用来比較，則应变計量測（特别是在施工期間）能得出有用的記錄；但是，所有这些情况，在混凝土中埋設仪器时，都必須严格地进行校核，至于原因何在，将在第三部分中介紹。

最后应当注意的是，由于年温度变化和混凝土凝固时散发热所造成的作用，对于总变形(位移)和局部的应变（应变計測得的）有时起着决定性的影响。将靜水荷載和自重所造成的应变区分开来，往往是件不容易的事。这是由于許多原因所造成的：混凝土的热膨胀系数和导温系数的数值不可靠，以及靜水荷載与溫度变化作用的双重影响等；这些問題通常在模型中如同計算一样，是无法想象的，而在分析实际量測成果时全会遇到。

最近結構模型試驗研究所正在进行在承受溫度影响时的模型靜力性能的試驗研究（如同将在本文第二部分中所要介紹的一样）。这就可以使得實驗室試驗成果与实际結果更为相近。

2. 意大利某些坝的位移量測及其与模型試驗成果的比較

1. 意大利在模型試驗和实体之間所得量測成果的比較，一般仅限于位移的比較，因为已經掌握了大量有用的位移資料，此外还可以采用許多不同的方法进行位移量測（視准仪、垂綫座标仪），而各种方法所得的成果，彼此都是相同的。

如果边界材料特性能在模型上正确地重新产生的話，那么模型試驗所取得的成果就可以与第一部分所进行的觀測成果完全一致。

模型上得到的位移成果能在不同荷載下，和坝体所承受的現象（靜水載荷、溫度、收縮、徐变等）产生的位移比較，以及和在坝体建造的实际条件下（混凝土和岩石性質，伸縮縫等）所得到的坝体靜压力性能进行比較，所得的比較成果是很有应用价值的。

表1 列出了派夫狄卡杜尔坝、皮恩太来舍我坝、脫拉維格諾
表1

坝名	高度 ^① <i>H</i> (米)	跨度 <i>C</i> (米)	$\frac{H^2}{B_r}$ ^②	实测位移 <i>D_r</i> (毫米)	模型位移 <i>D_m</i> (毫米)	模型彈性模数 ^④ <i>E_m</i> (公斤/平方厘米)	$n = \frac{E_b}{E_r}$ ^⑤
派夫狄卡杜尔	50	310	0.71	8	22	200000	0.15
皮恩太来舍我	75	387	0.80	25	48	250000	0.7
脫拉維格諾	80	282	1.65	20	30	250000	0.45
留米意	127	127	27.3	10	10	350000	—
伐尔茹列納	67	190	5.6	17.5	19.1	300000	0.5.

注：①周界縫上的高度。

②托爾基方法所采用的无因次比值。

③靜水荷載位移。

④在模型中所假定的坝体楊氏模数。

⑤模型中混凝土与岩石彈性模数的比值。

洛坝、留米意坝和伐尔茄列納坝的实体和模型上的頂拱位移數值和坝的主要尺寸；这些坝具有与本研究有关的各种不同的特征，因而可以認為是有价值的例子。

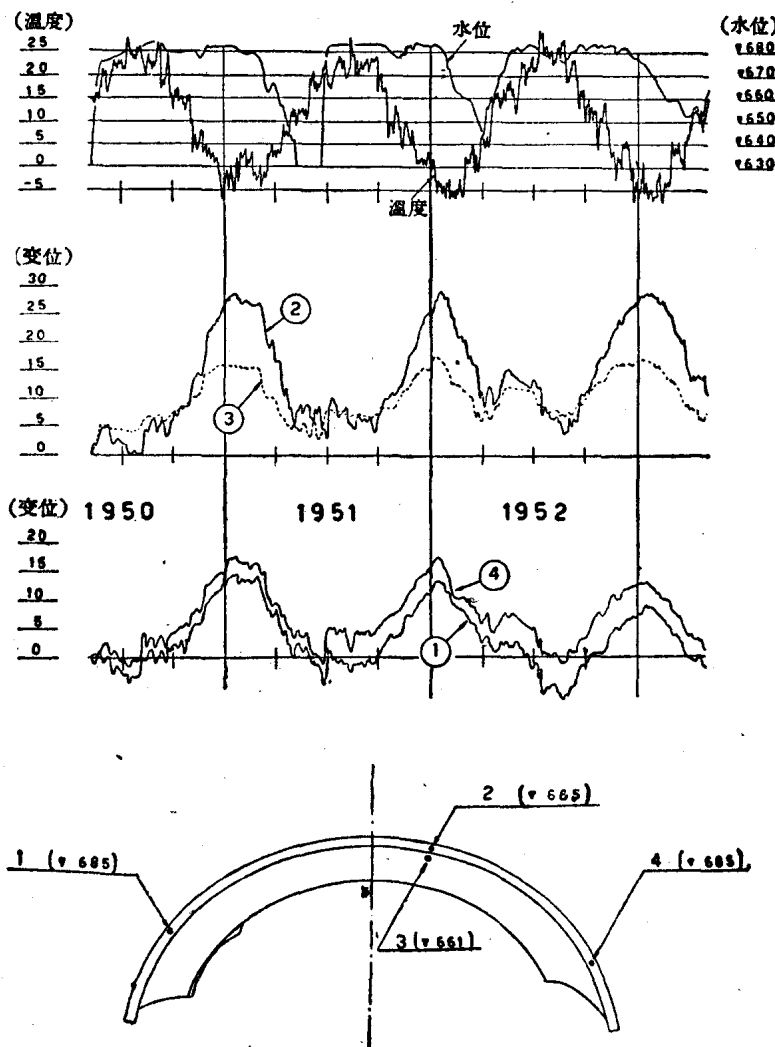


图 1 派夫狄卡杜尔坝的水位高程(N)、溫度(θ)和位移(D)

2. 图1, 2和3为派夫狄卡杜尔坝(属于亚得里亚蒂电力公司)、脱拉维格诺洛坝(属于史米雷尔公司)和皮恩太来舍我坝(属于托利诺亚齐达电业公司)实测所得的水位、位移和温度的情况。

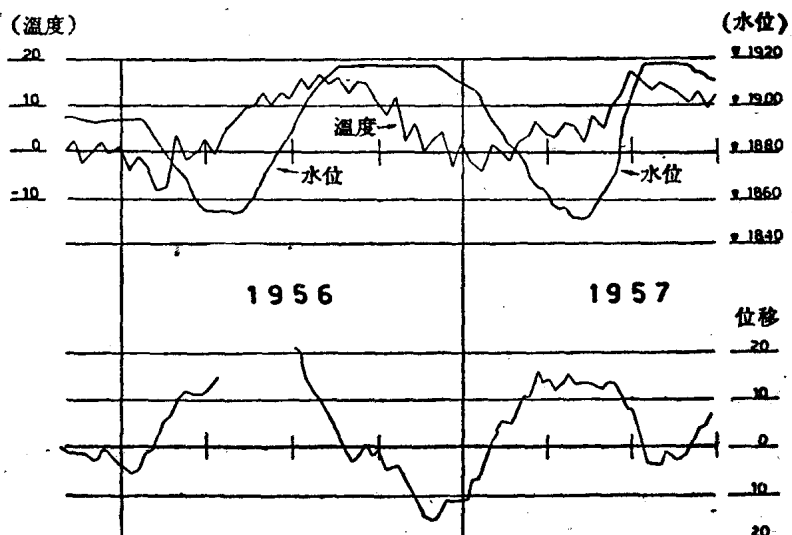


图2 皮恩太来舍我坝的水位高程(N)温度(θ)和顶拱位移(D)

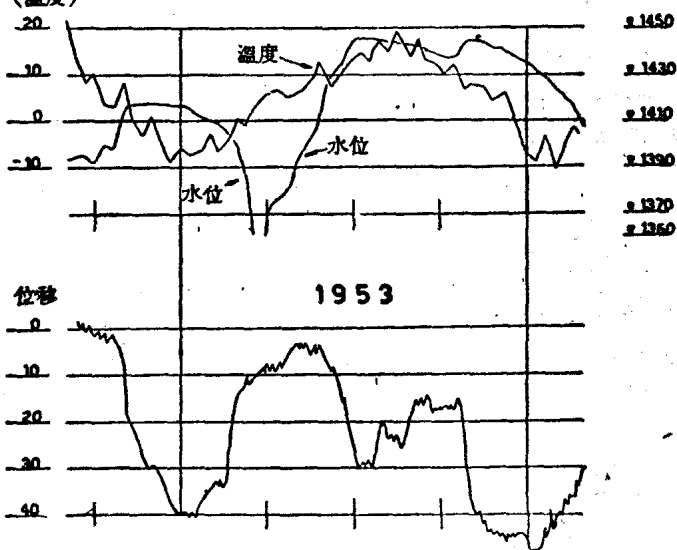


图3 脱拉维格诺洛坝的水位高程(N)温度(θ)和顶拱位移(D)

3. 单由曲綫和数值，就可認為：

a. 坝的位移大部分是由溫度影响所决定的。

依我們看來，为了求得溫度影响目前所可能提供的計算方法是很不够的，而在模型上进行試驗，目前也还只是开始。事實上也只是尚未建成的坝才可进行模型試驗，因而不可能将实測成果和理論推算进行比較。然而比較的重要性在于証实并指导實驗研究，而特別是在溫度应变数值的誤差能掩盖由靜压力所引起主要的而难以預料的位移情况时，則更为重要。下面一段將要介紹結構模型試驗研究所在这方面的研究和所做的初步試驗；

b. 在拱坝和薄拱坝情况下，实測的靜水荷載应变和模型成果是相同的；然而在重力拱坝的情况下，实測成果与模型成果之間的一致性显著降低；这情况将在第5和第6点中闡述。

4. 模型上溫度作用的試驗研究有：

a. 由于模型材料的力学特性和混凝土相似，以及可制成不連續伸縮縫，并且可以具有实际坝体的“膨脹”，因而在模型上可以重新产生实体的应变。

b. 在溫度变化情况下結構物內部溫度分布規律可在模型上重新产生。

結構模型試驗研究所用浮石混凝土做成的模型是非常适宜于溫度試驗的，因为首先这种材料很容易滿足a和b的两个条件，其次，米兰的两个新数值的比例，即由a和b导出的溫度和時間的比值（亦即为由热彈性理論和热扩散理論得来的比值），都还是合适的。結構模型試驗研究所在为米兰的愛迪生公司和屠齐斯的国际萊茵电站所做的萊茵地雷依坝模型試驗研究中，采用了下列的比值：

$$\text{长度} \quad \lambda = \frac{L}{b} = 66.6$$

$$\text{溫度} \quad \theta = \frac{\theta_r}{\theta_m} = 1$$

$$\text{应力} \quad \zeta = \frac{\sigma_r}{\sigma_m} = 6.4$$

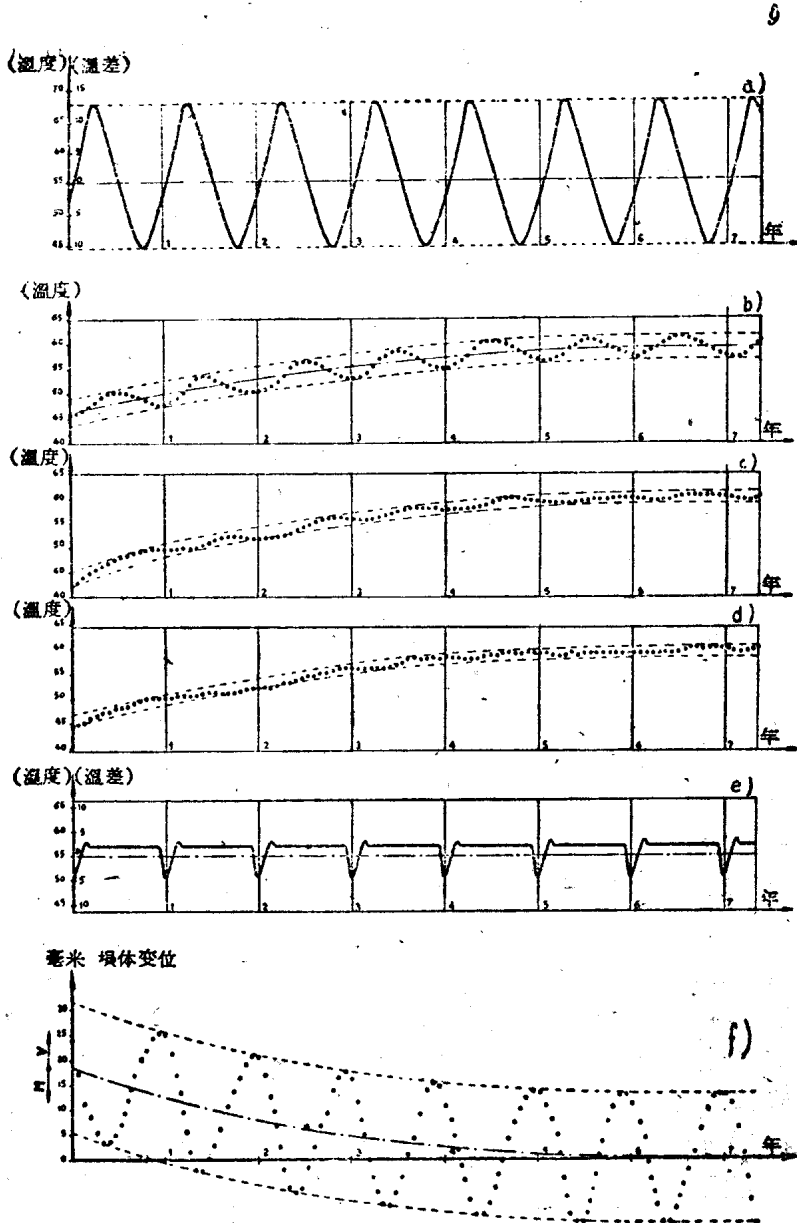


图4 模型上温度试验成果的例子

a—上游面温度; b、c、d—坝高一半地方在其厚度 $\frac{1}{3}$ 、 $\frac{1}{2}$ 、 $\frac{2}{3}$ 处的坝体内
部温度; e—在相同水位情况下的下游面温度; f—顶拱一点的位移。

$$\text{時間} \quad T = \frac{T}{t} = 1,150, 860, 720 \text{①}$$

热荷載所用的仪器是由不仅随时间变化、也还可以沿着坝的水平高程变化、并可在受拉时伸长的热电阻系統組成，这样就可体现出决定热荷載的两条基本規律的联合作用。

今举出如图 4 所示的表示中央澆注坝段在坝的一半高度处的內部溫度和頂拱一点位移的两个量測成果曲綫。

5. 茲将有关在靜水載荷情况下坝体实測和模型試驗所得位移的比較結果說明如下：

在派夫狄卡杜尔坝情况中，除了1951年5月(在15天內加载)的例外情况以外，可以滿意地測得单在靜水荷載情况下的影响，采用亚得里亚蒂电力公司研究所制造的量測仪器，可很容易地求得这些成果。

現除表 1 中所列的数据以外，再列出其他各点的变位：

	位 移 (毫米)		
高程	685P.14	661P.14	685P.14
实体	6.7	5	6.1
模型	23	20	10

在模型和实体上面所得的位移非常相似，而实測絕對数值却較小。这个差別可以用实体混凝土的彈性模数，肯定比模型中假定的200,000公斤/平方厘米高来解釋；但也不能采用实体和模型的位移相同时的彈性模数390,000公斤/平方厘米，因为混凝土的齡期为2年时，測得的彈性模数才是390,000 公斤/平方厘米。而且，一部分的差別应归之于另外一些現象，按照我們的意見，主要应归之于蓄水对于庫底的影响(这将是今后研究的对象)，尤其应归之于实体岩石远較模型岩石坚硬的緣故。

由于結構物的自重作用还相当大，在皮恩太来舍我坝中具有相似現象，但很不显著；此坝实測的拱冠最大位移为20毫米，而

① 应考慮到实体混凝土的導溫系数 $\frac{\lambda}{\alpha\gamma}$ 并不可靠。

模型所得者則為42毫米(楊氏彈性模數 $E=250,000$ 公斤/平方厘米, $n=0.6$)。與此相反, 脫拉維格諾洛堀的差別更不顯著; 因為混凝土凝固時的連續散熱作用往往非常劇烈, 以及由於缺少總荷載的迅速循環過程等緣故, 所以估計在靜水荷載情況下的位移還是很困難的。在1953年4月到6月期間的荷載產生約20毫米的位移, 而模型中則約為30毫米。

我們認為產生這些差別的原因, 還由於在水庫作用下及當地基礎條件優越的情況下, 混凝土的彈性模數比模型上測得者為大的緣故。

再者, 在派夫狄卡杜爾和皮恩太來舍我兩種情況中所得的差別較小; 事實上應該認為它們雖然是重力拱壙, 但還是比較薄的(不過還是與厚拱差不多), 於是它們幾乎可以代表介於重力拱壙和純拱壙之間的一種壙, 這兩壙的模型和實體間的成果差不多是完全相同的。

6. 在留米意壙的模型中(假定 $E=300,000$ 公斤/平方厘米及岩石非常堅硬)所得的位移為10毫米, 這是與實測位移相同的。

事實上人們可以認為具有相反作用的兩種現象($n_m > n_r$; $E_m < E_r$)^①, 彼此是可以相互調整的。留米意壙的成果對我們說來是有價值的, 其理由有二: 第一關於設計的問題, 我們認為由理論可知 n 比值的正確估計對於薄拱壙的位移並無很大影響; 第二則是關於試驗研究問題, 為了準確地測定結構的安全性, 而無需很好的估算位移時, 就可以在拱壙模型中引入一些相當小的比值。第二點已為伐爾茄列納壙的觀測成果所証實。

我們已詳細介紹了本文研究的內容; 這裡僅再說明一點, 即在表示岩石的可變性試驗研究中, 可採用與實際岩石相近的數值; 其次, 為了在模型中重新造成基礎岩石的不對稱形狀, 這些

① n_m —在模型中壙體與基礎的彈性模數的比值;

n_r —在實體中壙體與基礎的彈性模數的比值;

E_m —模型的壙體彈性模數;

E_r —模型的基礎彈性模數。——譯者

数值在各个地区之間可以是不同的。

通过三个連續的試驗，就可使得模型与坝体实测成果的完全一致(所得形状及其成果列出于图 5 的曲綫和表 2 的数值中)。

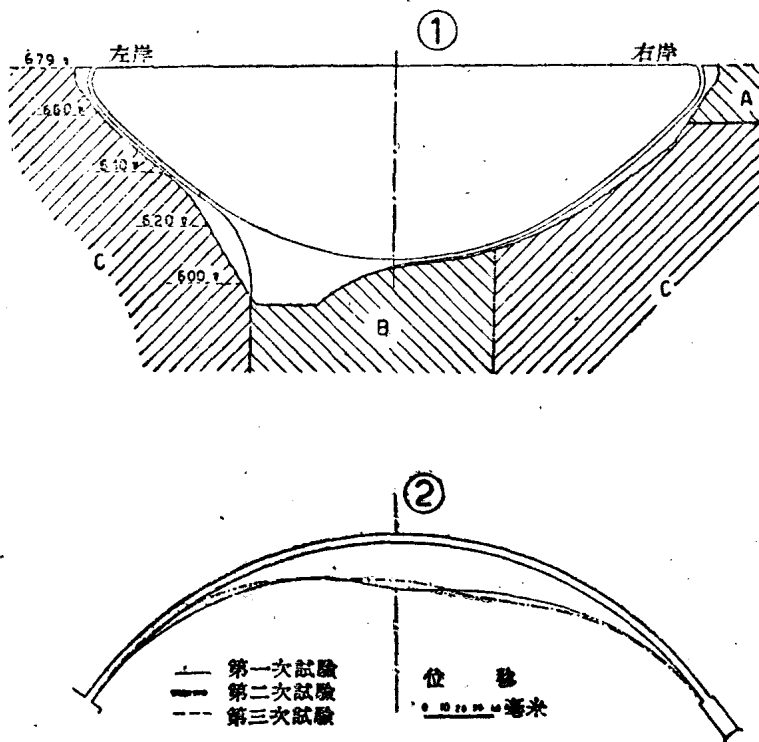


图 5

a—伐尔茹列納坝第二次模型的岩石分区图(表 2); b—模型和实体的顶拱位移。

7.余論：当考虑到温度影响或岩石的可变性时，采用相当完善的試驗研究，便可以很准确地得出坝的位移。众所周知，这个能得到許多正确結果的方向，正是結構模型試驗研究所几年来所追求的方向。

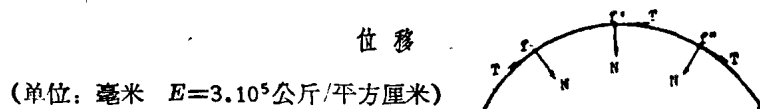
現已介紹了模型的溫度試驗所用的設備；已經在模型上能够正确地造成下列岩石的特性：

表 2

伐尔茄列納坝

岩石的可變性

坝与基础的特性	楊 氏 模 数 (公斤/平方厘米)			
	坝	A区	B区	C区
第 I °个模型				
第 I °次試驗	35,000	17,500	17,500	17,500
第 II °个模型				
第 I °次試驗	42,000	12,500	12,500	12,500
第 II °次試驗	42,000	38,000	12,500	12,500
第 III °次試驗	42,000	38,000	30,000	12,500



测点的徑向位移 (N) 与切后位移 (T)	f_N	f_T	f'_N	f'_T	f''_N	f''_T
第 I °个模型	4.2	—	19.1	—	8.8	—
第 II °个模型						
第 I °次試驗	6.6	3.1	26.0	0.4	13.2	3.1
第 II °次試驗	3.5	2.3	24.4	0.8	15.4	5.0
第 III °次試驗	3.5	4.6	21.6	1.6	16.2	5.4
实体	4.0	6.0	17.5	2.5	16.5	3.0

- a. 別雷茄特的 $\frac{E_r}{E_b}$ 的比值(模型中混凝土与基础彈性模数的比值)很低, 仅为0.1;
- b. 剛加諾坝的非各向同性的岩石(非各向同性比值为1:4);
- c. 黑部第四坝的岩石具有很大的裂隙及其周围用粘土回填。

3. 埋設混凝土中量測仪器的校核

对于澆注混凝土时埋設在坝內的仪器(应变計和应力計)来说, 在量測时是会产生誤差的; 因而在仪器埋設以前、埋設时以及在混凝土澆筑以后, 对所有的仪器加以严格的校核是极

其重要的，目的是保証它們作用时的規律性，在这里不可能詳細介紹各種仪器不同的埋設方法。

因此，需要介紹的只是結構模型試驗研究所进行研究和試驗的特殊方法。这种方法能校正埋設在混凝土內部仪器量測所得的一些不合理的成果。单独一个仪器的校核和将仪器埋設在一个适当尺寸的立方体中校核，二者是有区别的。

在受压状态下进行正常校核时，需要作出仪器分段讀出的应变計的应变曲綫，或应力計的应力曲綫，这些仪器显示出近似直綫的線性函数关系，以及可以减少滞后現象；与此相反，当将仪器埋設在混凝土中以后，即使很小心埋設，也会显著地产生各种复杂的特性。为了进行这类研究，必需用出力大及型式非常特殊的試驗机，因为为了忽略边界条件的影响，混凝土立方体的尺寸應該比仪器的尺寸显然大得多，結構模型試驗研究所备有一架2,000吨的机器，試驗台的大小达 150×150 厘米，这是欧洲唯一的机器。

用应变計或者应力計进行試驗时（二者都具有振动弦），从所得到的曲綫中可以說明在增加到較高的荷載时，校正曲綫的变化相对地稳定了。看来这种稳定是在两次加载、退载循环以后才达

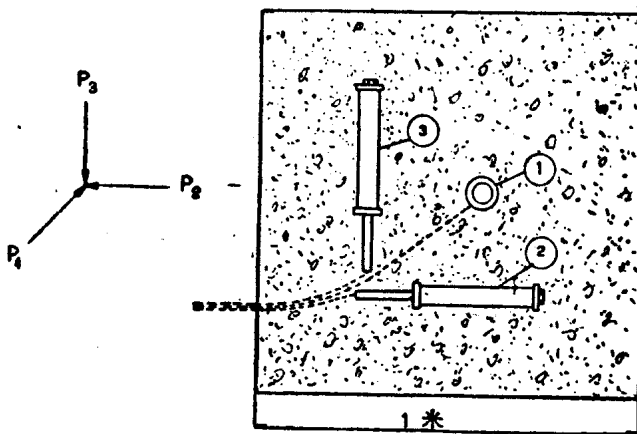


图6

P_1 、 P_2 和 P_3 —1、2和3应变計的荷載方向。

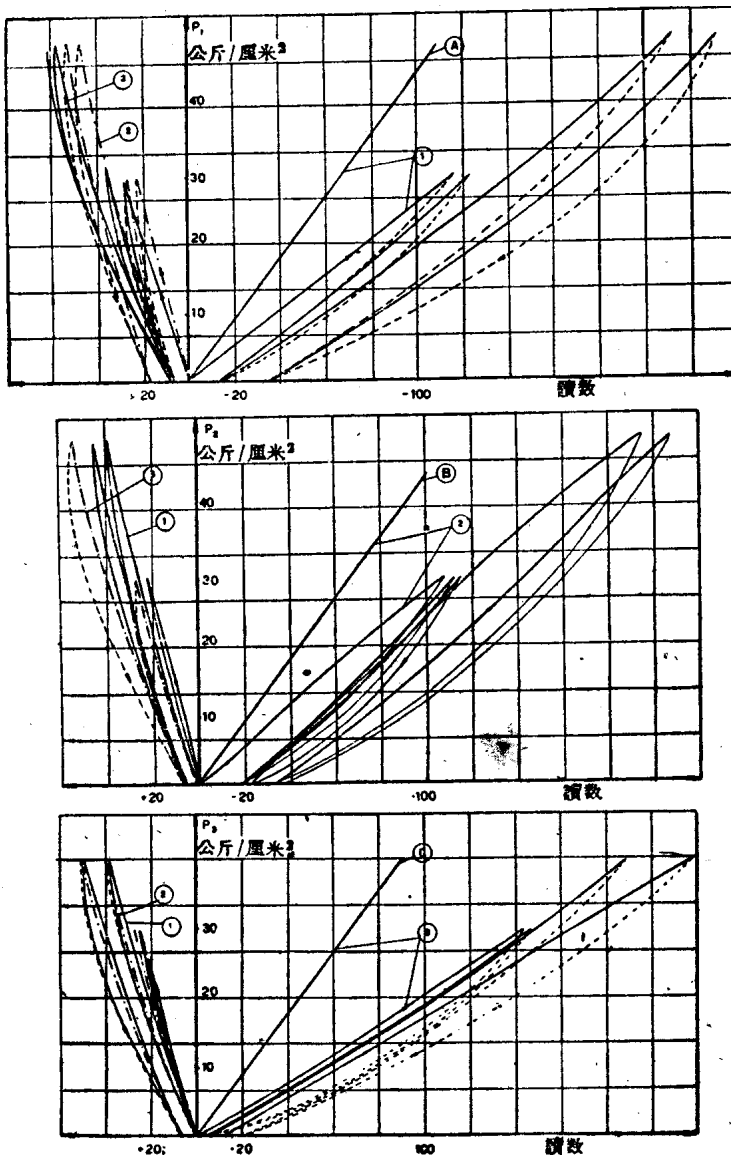


图 6(續) 埋設在混凝土中的應變計的校核曲線

1、2、3—應變計編號; P_1 、 P_2 、 P_3 —相應的荷載方向; A、B、C—無應力應變計的校核曲線。